

بررسی تأثیر پیش تیمار اسمز و فراصوت بر برخی ویژگی های کیفی موز خشک شده به روش هوای داغ

فخری شهیدی^۱- محبت محبی^{۲*}- محمد نوشاد^۳- احمد احتیاطی^۳- میلاد فتحی^۴

تاریخ دریافت: ۸۹/۳/۳۰

تاریخ پذیرش: ۹۰/۴/۴

چکیده

موز یکی از مهم ترین میوه های گرم‌سیری از منظر اقتصادی و صنعتی می باشد. با این وجود موز میوه‌ای فسادپذیر بوده و قابل انجماد نمی باشد، لذا مهم‌ترین روش نگهداری آن خشک کردن است. استفاده از هوای داغ مرسمون ترین روش خشک کردن می باشد. با این وجود خشک کردن توسط هوای داغ انرژی بر بوده و درنتیجه مقرن به صرفه نیست. بنابراین استفاده از پیش تیمارهایی که سبب کاهش آب بافتی و سهولت انتقال جرم هنگام خشک کردن با هوا می‌شوند، بسیار مفید خواهد بود. استفاده از فرایند آبگیری اسمزی یا امواج فراصوت به عنوان یک پیش تیمار قبل از خشک کردن، میتواند ضمن افزایش راندمان خشک کردن باعث کاهش هزینه نیز گردد. بنابراین در این تحقیق تأثیر فاکتورهای: نوع محلول اسمزی (گلوكز، ساکاراز)، مدت زمان غوطه وری در محلول اسمزی (۴۵-۳۰ و ۶۰ دقیقه)، غلظت محلول اسمزی (۳۰ و ۵۰ درصد) و مدت زمان صوت دهی با امواج فراصوت (۱۰-۲۰ دقیقه) بر میزان از دست دادن آب، جذب مواد جامد، چروکیدگی، ضریب نفوذ رطوبت و رنگ نمونه ها در فرایند تلفیقی اسمزی- هوای داغ مورد بررسی قرار گرفت که بیشترین میزان از دست دادن آب و جذب مواد جامد و همچنین کم ترین میزان چروکیدگی در هنگام استفاده از محلول ۵۰ درصد گلوكز در هر دو پیش تیمار به دست آمد. برخلاف کاربرد امواج فراصوت، استفاده از پیش تیمار آبگیری اسمزی، بر میزان مولفه های رنگی تصاویر نمونه های موز خشک شده موثر بود.

واژه های کلیدی: آبگیری اسمزی، پردازش تصویر، خشک کردن، فراصوت، موز، ویژگی های کیفی

روطیتی بالادر معرض فساد می باشد. یکی از روش های نگهداری و ذخیره سازی موز پس از برداشت، خشک کردن آن است. خشک کردن مواد غذایی و به ویژه میوه ها به روش های مختلفی مانند خشک کردن در آفتاب، خشک کردن با هوای داغ، خشک کردن با اشعه مایکروویو امکان پذیر است. خشک کردن توسط هوای داغ انرژی بر بوده و مقرن به صرفه نمی باشد. استفاده از عملیات پیش تیمار می تواند منجر به کاهش آب بافتی و سهولت انتقال جرم هنگام خشک کردن با هوا گردد (Vahideh et al., 2008).

فرایند آبگیری اسمزی می تواند به عنوان پیش تیمار جهت آبگیری اولیه، قبل از خشک کردن با هوای داغ مورد استفاده قرار گیرد. فرایند آبگیری اسمزی عبارت است از: خارج کردن بخشی از آب بافت گیاهی یا حیوانی بوسیله تماس مستقیم آنها با یک محلول غلیظ مناسب (محلول های قندی یا نمکی و یا مخلوطی از قندها و نمکها). در این فرایند براساس گرادیان غلظت بوجود آمده بین ماده

مقدمه

موز یکی از پرمصرف ترین میوه ها در جهان است و تقریباً در تمامی کشورهای نواحی گرم‌سیری کشت می شود. این میوه به دلیل داشتن مقداری بالای نشاسته، شکر، ویتامین های A, C، پتاسیم، سدیم و میزیم از ارزش تغذیه ای بالایی برخوردار است و منبع مناسبی از انرژی می باشد (Fernandes et al., 2006). میوه موز رسیده پس از برداشت بسیار آسیب پذیر بوده و به دلیل محتوای

- ۱- استاد و استادیار گروه علوم و صنایع غذایی، دانشکده کشاورزی، دانشگاه فردوسی مشهد
- ۲- نویسنده مسئول: (Email: mohebbat2000@yahoo.com)
- ۳- دانش آموختگان کارشناسی ارشد گروه علوم و صنایع غذایی، دانشکده کشاورزی، دانشگاه فردوسی مشهد
- ۴- دانشجوی دکتری گروه علوم و صنایع غذایی، دانشکده کشاورزی، دانشگاه فردوسی مشهد

تغییرات رنگ تصویر با ضریب همیستگی ۸۸٪ قابل پیشگویی با شبکه‌های عصبی مصنوعی می‌باشد. هدف از این پژوهش استفاده از پیش تیمارهای غیر حرارتی (اسمرز و فراصوت) قبل از خشک کردن توسط هوای داغ به منظور افزایش کارایی فرایند خشک کردن توسط هوای داغ و همچنین بررسی تأثیر شرایط عملیاتی مختلف بر روی میزان جذب مواد جامد، کاهش آب، چروکیدگی، آب‌گیری مجدد، رنگ و ضریب نفوذ موثر می‌باشد.

مواد و روش‌ها

میوه موز به صورت روزانه از بازارهای مشهد تهیه شد. پس از جداسازی پوست، موز‌ها به شکل ورقه‌هایی با ضخامت ۱۰ میلی‌متر برش داده شدند. رطوبت سطحی برش‌های تهیه شده با کاغذ جاذب رطوبت گرفته و وزن آن‌ها مشخص گردید. سپس نمونه‌ها تحت پیش تیمار قرار گرفتند. محتوای رطوبتی با قرار دادن نمونه‌ها در آون پایه در ۹۵ درجه سانتی گراد تا رسیدن به وزن ثابت تعیین گردید.

پیش تیمار اسمرزی

محلول‌های اسمرزی مورد استفاده در این تحقیق گلوکز و ساکارز با غلظت‌های ۳۰ و ۵۰ درصد (w/w) بود. نمونه‌های تهیه شده در محلول اسمرزی با غلظت مشخص غوطه ور شدند. نسبت میوه به محلول اسمرزی در کل آزمایشها ۱ به ۶ ثابت بود. بعد از طی شدن زمان آبگیری (۳۰، ۴۵ و ۶۰ دقیقه) برش‌های موز از محلول خارج و پس از حذف رطوبت سطحی، مجددآ توزین شدند. سپس با استفاده از روابط او ۲ درصد میزان از دست دادن آب و جذب مواد جامد محاسبه گردید:

$$\text{میوه رطوبت پس از فرایند} - \text{میوه رطوبت اولیه} \times 100 = \frac{\text{WL}}{\text{وزن اولیه}} \quad (1)$$

$$\text{وزن اولیه} - \text{وزن از فرایند} \times 100 = \frac{\text{SG}}{\text{وزن اولیه}} \quad (2)$$

پیش تیمار فراصوت

نمونه‌های تهیه شده در محلول اسمرزی به غلظت مشخص غوطه ور شدند و به مدت ۲۰، ۳۰ و ۴۰ دقیقه تحت تأثیر امواج فراصوت قرار گرفتند. این آزمایش‌ها درون حمام فراصوت UniqueUSC (model SCHAPER 25 kHz) و تحت دمای ثابت ۳۰ درجه سانتی گراد صورت گرفت. فرکانس و شدت میدان مورد استفاده در این آزمایش بترتیب ۲۵kHz و ۵۰۰ kW بود. نسبت میوه به محلول اسمرزی در کل آزمایشها ۱ به ۶ ثابت حفظ شد. بعد از طی شدن زمان، برش‌های موز از محلول خارج گردیده و پس از حذف رطوبت سطحی، نمونه‌ها مجددآ توزین شدند.

غذایی و محلول، دورگران خلاف جهت هم بوجود می‌آید، که موجب خروج آب از بافت محصول به سمت محلول و ورود مواد جامد از محلول به داخل بافت ماده غذایی می‌گردد. تحقیقات متعددی در مورد نحوه آبگیری اسمرزی و تأثیر عوامل مختلف بر ویژگی‌های کیفی انجام شده استکه بر تأثیر مثبت این پیش فرایند بر بهبود ویژگی‌های بافتی، رنگ و همچنین سایر خصوصیات کیفی مواد خشک شده تاکید شده است (Torregiani & Bertolo, 2001; Fabiano et al., 2009).

اعمال پیش تیمار قبل از خشک کردن، با استفاده از امواج فراصوت شامل غوطه وری ماده غذایی در آب یا در یک فاز آبی هایپرتونیک^۱ است. استفاده از امواج فراصوت به عنوان مکمل روش کلاسیک خشک کردن با هوای داغ، سبب افزایش ضریب نفوذ رطوبت و کاهش زمان فرایند خشک کردن می‌شود. امواج فراصوت در اثر پدیده کاویتاسیون^۲ باعث ایجاد یک سری انفاض و انبساط‌های سریع در ماده، که شیوه فشردن و رها کردن یک اسفنج است، می‌شود. تأثیر اسفنجه^۳ باعث خروج آب از ماتریکس جامد و از طرف دیگر سبب ایجاد میکروکانال‌هایی جهت سهولت انتقال جرم طی خشک کردن توسط هوای داغ می‌گردد (Fernandes et al., 2006; Isadora et al., 2006). نفوذ رطوبت موثر کلیه مکانیسم‌های ممکن انتقال رطوبت در ماده را مانند نفوذ مایع، پخش بخار، پخش سطحی، جریان موینگ و جریان هیدرودینامیکی را توصیف می‌کند. اطلاعات مربوط به نفوذ رطوبت موثر برای طراحی و مدلسازی فرایندها ای انتقال جرم مانند آبگیری، جذب سطحی و دفع رطوبت در طول انسداداری، لازم می‌باشد (Rafiee et al., 2008). از دیگر پارامترهای کیفی طی آب‌گیری اسمرزی میزان جذب مواد جامد^۴ و از دست دادن آب^۵ و طی خشک کردن توسط هوای داغ چروکیدگی می‌باشد.

رنگ ویژگی موثری در اندازه گیری اجسام در تصاویر مربوط به مواد غذایی مختلف شامل انواع میوه، سبزی، دانه غلات و گوشت می‌باشد. از این ویژگی در درجه بندی انواع میوه استفاده شده است. در صنایع گوشت برای بررسی خودکار، درجه بندی و فراوری گوشت، بهبود عینیت فرایند و بررسی عیوب و بیماری‌های گوشت طیور مورد استفاده قرار گرفته‌اند (Briones & Aguilera, 2005; Fathi, 2011). تغییرات رنگ کیوی طی تیمار اسمرز را به وسیله پردازش تصویر موردن بررسی قرار دادند و با استفاده از شبکه‌های عصبی مصنوعی، مدلسازی کردند. نتایج نشان داد که پیشگویی

1-Hypertonic

2-Cavitation

3-Sponge effect

4-Solid gain

5-Water loss

رابطه ۳ استفاده شد. زیرنویس ۱ میانگین مولفه رنگی در تصویر نمونه موز قبل از فرآیند است و زیرنویس ۲ میانگین مولفه رنگی در تصویر نمونه موز بعد از خشک کردن می باشد (Fathi et al., 2011).

$$\Delta E = \sqrt{(L_2^* - L_1^*)^2 + (a_2^* - a_1^*)^2 + (b_2^* - b_1^*)^2} \quad (3)$$

اندازه گیری میزان آب گیری مجدد

برای محاسبه میزان آب گیری مجدد، نمونه های خشک شده به مدت ۵۰ دقیقه در آب ۵۰ درجه سانتی گراد غوطه ور گردیدند، با استفاده از رابطه ۴ میزان آب گیری مجدد نمونه ها به دست آمد (Hammami et al., 1999).

$$\frac{\text{وزن نمونه پس از آب گیری}}{\text{وزن نمونه قبل از آب گیری}} = \text{میزان آب گیری مجدد} \quad (4)$$

مدل سازی منحنی خشک شدن

قانون دوم فیک (معادله ۵) به طور وسیعی به منظور توصیف فرایند خشک کردن در طول دوره کاهش نرخ رطوبت برای بیشتر مواد بیولوژیکی استفاده می شود:

$$\frac{\partial M}{\partial t} = \nabla [D_{eff} (\nabla M)] \quad (5)$$

که در آن:

ضریب نفوذ رطوبت موثر D_{eff} (m²/s) M، (m²/s) محتوی رطوبت (kg water/kg dry solid) و t زمان (s) می باشد. ضریب نفوذ با استفاده از داده های تجربی تعیین می شود. فرض اصلی در تعیین این پارامتر این است که خشک کردن فقط به انتقال جرم محدود شده و نیز فرایند خشک کردن به صورت همدم در تمام نمونه انجام می شود.

با حل عددی معادله فیک به روش کرانک، نفوذ رطوبت برای باریکه نامحدود با استفاده از معادله ۶ قابل محاسبه است (محمدی و همکاران، ۱۳۸۷). فرض این باید که برای این معادله در نظر گرفته شد به شرح زیر است:

(۱) رطوبت در ابتدا به صورت یکنواخت درون نمونه پخش شده است.

(۲) انتقال جرم به صورت متوازن نسبت به مرکز ماده انجام میگیرد.

(۳) محتوی رطوبت سطحی نمونه به طور آنی به تعادل با محیط اطراف می رسد.

(۴) مقاومت به انتقال جرم در سطح نسبت به نواحی درونی ماده ناچیز است.

(۵) انتقال جرم فقط با مکانیسم نفوذ انجام می گیرد.

(۶) ضریب نفوذ ثابت میباشد و افت آن قابل چشم پوشی است.

$$MR = \frac{8}{\pi^2} \sum_{n=0}^{\infty} \frac{1}{(2n+1)^2} \exp \left(- \frac{(2n+1)^2 \pi^2 D_{eff} t}{4L^2} \right) \quad (6)$$

خشک کردن توسط هوای داغ

به منظور حصول شرایط پایدار در سیستم، خشک کن به مدت ۳۰ دقیقه قبل از فرایند روشن و سپس سینی حاوی نمونه ها در محفظه خشک کن قرارداده می شدند. دماهای مورد بررسی در این تحقیق ۶۰ و ۸۰ درجه سانتی گراد و سرعت هوای ورودی ۱/۵ m/s درنظر گرفته شد. خشک کردن تا زمانی ادامه داشت که تغییرات رطوبت ورقه ها بسیار کم شده و در نتیجه شدت خشک شدن تقریباً صفر می شد.

اندازه گیری در صد چروکیدگی

برای اندازه گیری چروکیدگی، تغییرات حجم نمونه ها با استفاده از روش جابجایی مایع توسط تولئن تعیین گردید (رضوی و همکاران، ۱۳۸۵).

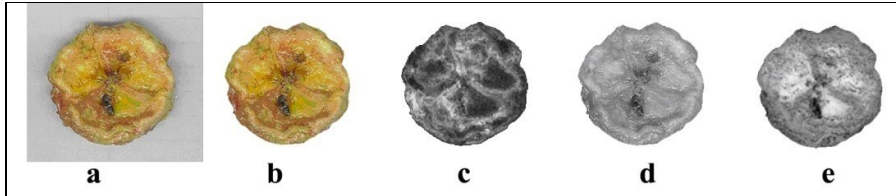
تصویر گیری و پردازش تصویر

تصویر گیری از نمونه موز خشک شده پس از مرحله هوای داغ با استفاده اسکنر مسطح مدل HP Scanjet 4010 و توسط برنامه Photosmart premier JPEG و رزولوشن 200 dpi بدون فشردگی ذخیره شد. جهت آماده سازی تصاویر برای مراحل بعدی پردازش تصویر، ابتدا تصویر موز از تصویر پشت زمینه جدا سازی شد. برای انجام این کار از نرم افزار PhotoShop نسخه ۱۰ استفاده گردید. تصاویر با فرمت PNG و در فضای رنگی RGB ذخیره گردید.

فضای رنگی L*a*b* از سه مولفه L*, a*, b* تشکیل شده است. مولفه L* معادل روشنایی تصویر است که بین صفر معادل مشکی و ۱۰۰ میانگین کامل نور تغییر می کند. مقادیر مولفه a* بین -۱۲۰ تا ۱۲۰ تغییر می کند و مقادیر مثبت معادل رنگ قرمز و مقادیر منفی معادل رنگ سبز است. مقادیر b* بین -۱۲۰ تا ۱۲۰ تغییر می کند و مقادیر مثبت معادل رنگ زرد و مقادیر منفی معادل رنگ آبی است. در اکثر پژوهش های صنایع غذایی از فضای رنگی L*a*b* استفاده می شود (Tkalcic & Tasic, 2006).

با استفاده از پلاگین color_space_converter تحت نرم افزار ImageJ نسخه ۱.۰۴ تصاویر به CIE XYZ و سپس به L*a*b* تبدیل گردید (شکل ۱). مطابق کد ارایه شده توسط توسعه دهنده برنامه، برای تبدیل اطلاعات اخذ شده از پیکسل ها در فضای رنگی RGB به L*a*b* از روش دو مرحله ای استفاده شد.

پس از تبدیل تصویر به فضای رنگی L*a*b* با انتخاب محدوده مربوط به تصویر موز، محاسبه میانگین برای هر مولفه انجام شد. میانگین معادل میانگین مقادیر مولفه رنگی در تصویر است. برای محاسبه تغییرات کلی رنگ (ΔE) در طی فرایند خشک کردن از



شکل ۱- مراحل تبدیل فضای رنگی: a: تصویر اولیه، b: پس زمینه جدا شده، c: مولفه * L تصویر، d: مولفه * a تصویر، e: مولفه * b تصویر

کامل تصادفی و توسط نرم افزار MINITAB صورت گرفت. برای رسم نمودارها از نرم افزار MS-Excel نسخه ۲۰۰۷ استفاده شد. تمامی آزمایش‌ها در سه تکرار صورت گرفت.

در این رابطه MR نسبت رطوبت، L ضخامت ورقه ها (m) و n عدد صحیح مثبت می‌باشد که برای زمان های طولانی خشک کردن n برابر ۱ می‌باشد (Crank, ۱۹۷۵، محمدی و همکاران، ۱۳۸۷). لذا رابطه فوق به صورت ذیل ساده می‌شود:

$$MR = \frac{8}{\pi^2} \exp\left(-\frac{\pi^2 D t}{4L^2}\right) \quad (7)$$

در این پژوهش فرض شده است، که انتقال حرارت فقط در یک سطح صورت می‌گیرد.

روش تجزیه و تحلیل آماری

تجزیه و تحلیل آماری داده‌ها با استفاده از طرح آماری بلوک‌های

جدول ۱- درصد میزان از دست دادن آب و جذب مواد جامد توسط ورقه های نازک موز در شرایط مختلف آبغیری

| شرایط عملیات | | | | | | | | | |
|----------------------|------|-------|------|---------|---------------------|-------|---------|----|--------------|
| میزان از دست دادن آب | | | | | جذب مواد جامد محلول | | | | |
| ساکاراز | | گلوكز | | ساکاراز | گلوكز | | ساکاراز | | گلوكز |
| ۵۰ | ۳۰ | ۵۰ | ۳۰ | ۵۰ | ۳۰ | ۵۰ | ۳۰ | ۵۰ | ۳۰ |
| ۱/۱۲ | ۰/۸۷ | ۱/۴۲ | ۱/۲۹ | ۷/۴۶ | ۶/۲ | ۱۰/۹۱ | ۸/۹۴ | ۱۰ | دقیقه فراصوت |
| ۱/۳۵ | ۱/۰۳ | ۱/۶۷ | ۱/۶۱ | ۷/۶۳ | ۶/۸۲ | ۱۳/۱۳ | ۹/۷۱ | ۲۰ | دقیقه فراصوت |
| ۱/۷۹ | ۱/۱۱ | ۱/۸۵ | ۱/۷۸ | ۷/۸۲ | ۶/۹۸ | ۱۳/۸۱ | ۱۰/۳۶ | ۳۰ | دقیقه فراصوت |
| ۲/۱ | ۱/۱۴ | ۲/۶۲ | ۲/۳۱ | ۴/۵۶ | ۴/۱۲ | ۱۰/۰۸ | ۶/۲۷ | ۳۰ | دقیقه اسمز |
| ۲/۴۳ | ۱/۲۷ | ۲/۶۸ | ۲/۴۵ | ۵/۹۸ | ۴/۲۴ | ۱۰/۳۶ | ۷/۵۸ | ۴۵ | دقیقه اسمز |
| ۲/۵۷ | ۱/۵۵ | ۲/۷۴ | ۲/۶۳ | ۷/۰۱ | ۴/۶۵ | ۱۰/۷ | ۷/۷۴ | ۶۰ | دقیقه اسمز |

جدول ۲- نتایج آنالیز واریانس (ANOVA) برای میزان از دست دادن آب

| منبع | فراصوت | | | منبع |
|------------------|--------------------|------------|------------------|--------------------|
| | میانگین مریعات | درجه آزادی | میانگین مریعات | |
| زمان | ۳/۹۱ ^{ns} | ۲ | زمان اسمز | ۳/۹۱ ^{ns} |
| نوع شکر | ۴۷/۸** | ۱ | نوع شکر | ۴۷/۸** |
| غلفظ محلول اسمزی | ۱۱/۵۰۵** | ۱ | غلفظ محلول اسمزی | ۱۱/۵۰۵** |
| خطا | ۵/۰۳۵ | ۷ | خطا | ۵/۰۳۵ |
| کل | ۱۱ | ۱۱ | کل | ۱۱ |

ns: معنی دار نبودن در سطح ۱٪ و **: معنی دار بودن در سطح ۱٪

جدول ۳- نتایج آنالیز واریانس (ANOVA) برای میزان جذب مواد جامد

| اسمز | | منبع | | فراصوت | | منبع | |
|---------------------|----------------|------------------|--|----------------|------------|------------------|--|
| درجه آزادی | میانگین مربعات | | | میانگین مربعات | درجه آزادی | | |
| ۰/۲۷۱ ^{ns} | ۲ | زمان | | ۰/۴۱۸۹** | ۲ | زمان | |
| ۱/۵۹۱** | ۱ | نوع شکر | | ۰/۴۶۰۲* | ۱ | نوع شکر | |
| ۱/۱۹۷** | ۱ | غلظت محلول اسمزی | | ۰/۱۹* | ۱ | غلظت محلول اسمزی | |
| ۰/۵۶۱ | ۷ | خطا | | ۰/۱۴۱ | ۷ | خطا | |
| | ۱۱ | کل | | | ۱۱ | کل | |

ns: معنی دار نبودن در سطح ۱٪ و ۵٪؛ *: معنی دار بودن در سطح ۵٪؛ **: معنی دار بودن در سطح ۱٪

۸/۸۹×۱۰^{-۸} و در هنگام استفاده از ساکارز، $۳/۶\times 10^{-8}$ تا ۱۰^{-8} در هنگام استفاده از ساکارز، $۸/۱۲\times 10^{-8}$ بود. محاسبات نشان دهنده یک رابطه مستقیم بین ضریب نفوذ مؤثر و درجه حرارت وجود دارد. نتایج آنالیز واریانس بر ضریب نفوذ مؤثر در جدول ۵ آورده شده است. بررسی ها نشان داد تأثیر کلیه پارامترها به غیر از غلظت محلول طی پیش تیمار توسط فراصوت و زمان طی پیش تیمار توسط محلول اسمزی بر میزان ضریب نفوذ مؤثر معنا دار است.

استفاده از غلظت های بالاتر سبب آب گیری بیشتر شده و درنتیجه ماده غذایی طی خشک کردن توسط هوای داغ (در شرایط دمایی یکسان) زمان کمتری در معرض دمای بالا برای رسیدن به رطوبت تعادلی قرار می گیرد. در شرایط زمانی یکسان (۳۰ دقیقه) نمونه هایی که تحت تأثیر امواج فراصوت قرار گرفته بودند میزان از دست دادن آب بیشتری داشتند. این پدیده بعلت ایجاد میکروکانال ها و سهولت از دست دادن آب توسط نمونه می باشد. ساکارز بعلت وزن ملکولی بزرگتر، درصد جذب مواد کمتری را در مقایسه با گلوکز داشت. با افزایش غلظت ساکارز، درصد جذب مواد افزایش یافت. نتایج آنالیز واریانس بر میزان از دست دادن آب و جذب مواد جامد به ترتیب در جدول ۲ و ۳ آورده شده است. در رابطه با میزان از دست دادن آب به غیر از زمان فرآیند فراصوت و اسمز تأثیر بقیه پارامترها معنا دار بود. در صورتی که در رابطه با جذب مواد جامد فقط تأثیر زمان طی فرآیند آبگیری اسمزی معنی دار نبود.

ضریب نفوذ مؤثر

مقادیر ضریب نفوذ رطوبت مؤثر (D_{eff})، توسط معادله ۷ محاسبه و در جدول ۴ نشان داده شده است. دامنه تغییرات ضریب نفوذ مؤثر برای ورقه های موز در هنگام استفاده از گلوکز، $۴/۶۴\times 10^{-8}$ تا $۵/۴۳\times 10^{-8}$

جدول ۴- ضریب نفوذ مؤثر در ورقه های نازک موز در شرایط مختلف خشک شدن

| درجه | | درجه | | هوای داغ | |
|-----------------------|-----------------------|-----------------------|-----------------------|-----------------------|-----------------------|
| ۵/۴۳×10 ⁻⁸ | | ۵/۱۱×10 ⁻⁸ | | هوای داغ | |
| ساکارز | گلوکز | ساکارز | گلوکز | ساکارز | گلوکز |
| ۵۰ | ۳۰ | ۵۰ | ۳۰ | ۵۰ | ۳۰ |
| ۵/۴۱×10 ⁻⁸ | ۵/۵۷×10 ⁻⁸ | ۵/۶۳×10 ⁻⁸ | ۵/۸۹×10 ⁻⁸ | ۵/۴×10 ⁻⁸ | ۵/۳۶×10 ⁻⁸ |
| ۵/۶۷×10 ⁻⁸ | ۵/۹۶×10 ⁻⁸ | ۶/۰۶×10 ⁻⁸ | ۶/۱۲×10 ⁻⁸ | ۵/۴۷×10 ⁻⁸ | ۵/۶۱×10 ⁻⁸ |
| ۵/۹۶×10 ⁻⁸ | ۵/۸۹×10 ⁻⁸ | ۵/۹۸×10 ⁻⁸ | ۵/۸۷×10 ⁻⁸ | ۵/۲۸×10 ⁻⁸ | ۵/۴۷×10 ⁻⁸ |
| ۸/۸۹×10 ⁻⁸ | ۶/۴۷×10 ⁻⁸ | ۵/۹×10 ⁻⁸ | ۶/۱۱×10 ⁻⁸ | ۴/۶۱×10 ⁻⁸ | ۶/۳۲×10 ⁻⁸ |
| ۸/۵۵×10 ⁻⁸ | ۶/۳۶×10 ⁻⁸ | ۵/۸۸×10 ⁻⁸ | ۶/۱۱×10 ⁻⁸ | ۴/۴×10 ⁻⁸ | ۶/۰۱×10 ⁻⁸ |
| ۷/۲۳×10 ⁻⁸ | ۶/۲۶×10 ⁻⁸ | ۵/۷۹×10 ⁻⁸ | ۶/۰۳×10 ⁻⁸ | ۳/۶×10 ⁻⁸ | ۵/۳×10 ⁻⁸ |
| | | | | | |
| | | | | ۴/۹۳×10 ⁻⁸ | ۴/۹۳×10 ⁻⁸ |
| | | | | ۴/۶۴×10 ⁻⁸ | ۴/۶۴×10 ⁻⁸ |
| | | | | | |
| | | | | ۱۰ دقیقه فراصوت | ۱۰ دقیقه فراصوت |
| | | | | ۲۰ دقیقه فراصوت | ۲۰ دقیقه فراصوت |
| | | | | ۳۰ دقیقه فراصوت | ۳۰ دقیقه فراصوت |
| | | | | ۳۰ دقیقه اسمز | ۳۰ دقیقه اسمز |
| | | | | ۴۵ دقیقه اسمز | ۴۵ دقیقه اسمز |
| | | | | ۶۰ دقیقه اسمز | ۶۰ دقیقه اسمز |

جدول ۵- نتایج آنالیز واریانس (ANOVA) برای ضریب نفوذ موثر

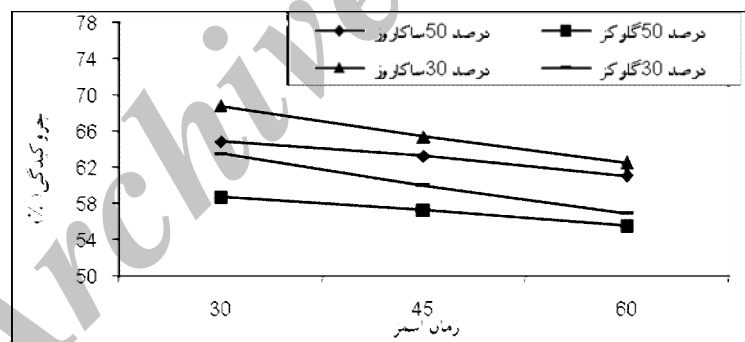
| منبع | فراصوت | | منبع |
|---------------------|----------------|----------------|---------------------|
| | میانگین مربعات | درجه آزادی | |
| اسمز | منبع | میانگین مربعات | درجه آزادی |
| میانگین مربعات | | | |
| ۷/۲۱۶ ^{ns} | ۲ | زمان | ۳/۱۲۹۱** |
| ۲۹/۶۷۱** | ۱ | نوع قند | ۱۰/۰۳۳۹** |
| ۷/۴۱۱* | ۱ | غلظت محلول | ۰/۶۸۹ ^{ns} |
| ۱۴/۵۱۳** | ۱ | دما | ۱۴/۷۲۱۲** |
| ۸۲/۹۷۵ | ۶۲ | خطا | ۱۴/۴۵۵۷ |
| | ۶۷ | کل | ۶۷ |

ns: معنی دار نبودن در سطح ۱٪ و ۵٪؛ **: معنی دار بودن در سطح ۵٪؛ *: معنی دار بودن در سطح ۱٪

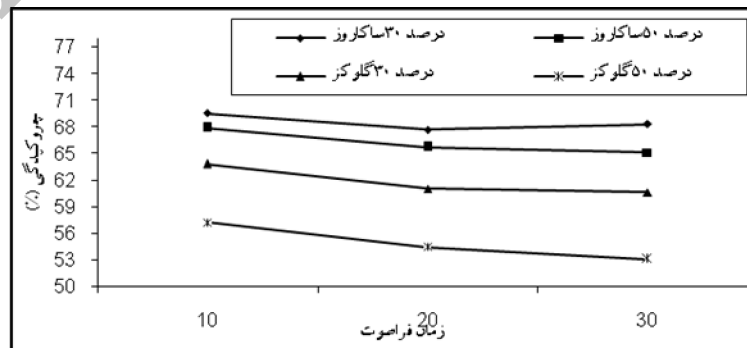
همکاران، ۱۳۸۲).

تأثیر امواج فراصوت بر میزان چروکیدگی
در شکل ۳ تأثیر امواج فراصوت بر میزان چروکیدگی در دما ۸۰ درجه سانتی گراد نشان داده شده است. با توجه به این که ساکارز بعلت داشتن وزن ملکولی بیشتر درصد جذب مواد کمتری را در مقایسه با گلوکز داشت، لذا میزان چروکیدگی در میزان چروکیدگی نمونه های اسمزی با ساکارز نسبت به گلوکز بیشتر بود. از طرف دیگر با افزایش غلظت، درصد جذب مواد افزایش و در نتیجه چروکیدگی کاهش یافت.

با توجه به این که ساکارز بعلت داشتن وزن ملکولی بیشتر درصد جذب مواد کمتری را در مقایسه با گلوکز داشت، لذا میزان چروکیدگی نمونه های اسمزی با ساکارز نسبت به گلوکز بیشتر بود. از طرف دیگر با افزایش غلظت، درصد جذب مواد افزایش و در نتیجه چروکیدگی کاهش یافت.
استفاده از غلظت های بالاتر و زمان های طولانی تر آب گیری، باعث ایجاد یک لایه سخت کریستاله در سطح موز می گردد. ایجاد این حالت طی خشک کردن باعث ایجاد پدیده سخت شدن سطح شده و لذا از چروکیدگی جلوگیری می شود. این نتایج با گزارش سایر محققین مطابقت دارد (Lopezet *al.*, 2000). صوتی خیابانی و



شکل ۲- تأثیر نوع و غلظت محلول اسمزی بر میزان چروکیدگی در دمای ۸۰ درجه سانتی گراد



شکل ۳- تأثیر امواج فراصوت بر میزان چروکیدگی در دما ۸۰ درجه سانتی گراد

همچنین شاخص تغییرات کل (ΔE) ناشی از انجام واکنش های شیمیایی رنگ زا مثل واکنش میلارد بین قند ها و پروتئین ها و تشکیل مالتوئیدین ها است (Krokida et al., 2000). عدم تأثیر گذاری امواج فراصوت در تغییرات رنگ موز ناشی از عدم تأثیر گذاری امواج فراصوت بر واکنش های شیمیایی می باشد و بیشتر به صورت فیزیکی و تخریب دیواره های سلولی در بافت داخلی موز است. همچنین زمان اعمال پیش تیمار اسمزی بر شاخص های تغییر رنگ تأثیر معنی دار نداشت.

نوع قند (گلوکز یا ساکارز) بر تغییرات دو مولفه a^* و b^* در سطح اطمینان ۹۹ درصد معنی دار بود که ناشی از نقش فعال قندها در واکنش های شیمیایی رنگ زا در طی خشک کردن هوای داغ است. میانگین تغییر شاخص های رنگ برای قند گلوکز بیشتر از ساکارز است (جدول ۷). با توجه به ساختار شیمیایی گلوکز و خاصیت احیا کنندگی، این قند به طور فعال تری در تشکیل رنگ و تغییر شاخص های رنگ بالا خص مولفه a^* که وابسته به رنگ قرمز است، شرکت می کند لذا این رفتار توجیه پذیر است.

همچنین با افزایش غلظت، درصد جذب مواد جامد افزایش و درنتیجه چروکیدگی کاهش یافت. با افزایش زمان موج دهی بعلت ایجاد میکروکانال ها (Fernandes et al., Patrícia et al., 2010) و افزایش جذب مواد جامد، میزان چروکیدگی کاهش یافت. از طرف دیگر ایجاد میکروکانال ها سبب تسريع انتقال جرم طی خشک کردن توسط هوای داغ شده و درنتیجه نمونه ها در زمان کوتاه تری در معرض دمای بالا قرار می گرفتند و لذا دارای چروکیدگی کمتری بودند.

تأثیر پیش تیمار اسمز- فراصوت بر تغییرات شاخص های رنگ

با توجه به نتایج تجزیه واریانس (جدول ۶)، مدت زمان اعمال امواج فراصوت در پیش تیمار اسمز- فراصوت بر تغییرات هیچ یک از مولفه های رنگی در حین فرایند، تأثیر معنی داری نداشته است. همچنین تأثیر آن بر شاخص کلی تغییر رنگ معنی دار نبوده است. ایجاد رنگ های جدید و در نتیجه، تغییر مقادیر مولفه های رنگی و

جدول ۶- تجزیه واریانس تأثیر متغیر های فرآیند بر شاخص های تغییر رنگ در فضای رنگ $L^*a^*b^*$

| ΔE | میانگین مربعات | | | درجه آزادی | منبع تغییرات |
|------------|----------------|---------------|---------------|------------|--|
| | $b^* - b^*_1$ | $a^* - a^*_1$ | $L^* - L^*_1$ | | |
| ۵/۱ NS | ۱/۴۲ NS | ۱/۱۹ NS | ۲۵/۱۳ NS | ۲ | زمان فراصوت (دقیقه) |
| ۵۴/۸ NS | ۱۲/۱۵ NS | ۲/۷۵ NS | ۱۳۶/۰/۷ NS | ۲ | زمان اسمز (دقیقه) |
| ۴۷/۶ NS | ۶۱۷ ** | ۲۱۹/۸ ** | ۱۳۵/۷ NS | ۱ | نوع قند |
| ۲۰۰/۸۸ ** | ۴۷۲۰/۷ ** | ۱۷/۹ NS | ۶۴۶۴/۱ ** | ۱ | غلظت محلول اسمزی (درصد) |
| ۳۰۸۷/۵۲ ** | ۸۱۱۶/۳ ** | ۴۵۱۲/۵ ** | ۱۰۳/۱ NS | ۱ | دماهی خشک کن هوای داغ (درجه سانتیگراد) |
| ۱۱۲/۳۷ ** | ۲۶۷/۵ ** | ۵۰۹/۶ ** | ۶۹۶/۵ ** | ۲ | زمان خشک کن هوای داغ (ساعت) |

NS: غیر معنی دار، * معنی دار در سطح اطمینان ۹۵ درصد، ** معنی دار در سطح اطمینان ۹۹ درصد

جدول ۷- میانگین شاخص های تغییر رنگ برای متغیر های فرآیند

| ΔE | میانگین | | | سطح | متغیر فرآیند |
|------------|---------------|---------------|---------------|-------------------|-----------------------|
| | $b^* - b^*_1$ | $a^* - a^*_1$ | $L^* - L^*_1$ | | |
| ۳۶/۲۴ | ۱۸/۱۹ | ۸/۷۹ | ۲۷/۲۷ | گلوکز | نوع قند |
| ۳۵/۶۷ | ۲۰/۲۶ | ۷/۵۵ | ۲۶/۳۰ | ساکارز | |
| ۳۵/۳۶ | ۲۲/۱۲ | ۸/۳۵ | ۲۲/۴۳ | درصد | |
| ۳۶/۵۴ | ۱۶/۳۳ | ۷/۹۹ | ۳۰/۱۳ | درصد | |
| ۳۳/۶۴ | ۱۵/۴۷ | ۵/۳۷ | ۲۷/۲۱ | ۶۰ درجه سانتیگراد | غلظت محلول اسمزی |
| ۳۸/۲۷ | ۲۲/۹۸ | ۱۰/۹۷ | ۲۶/۳۶ | ۸۰ درجه سانتیگراد | دماهی خشک کن هوای داغ |
| ۳۵/۰۸ | ۲۰/۵۷ | ۶/۳۸ | ۲۴/۶۰ | ۴ ساعت | |
| ۳۶/۳۰ | ۱۸/۷۳ | ۸/۵۹ | ۲۷/۶۶ | ۵ ساعت | |
| ۳۶/۴۹ | ۱۸/۳۷ | ۹/۵۵ | ۲۸/۰۹ | ۶ ساعت | زمان خشک کن هوای داغ |

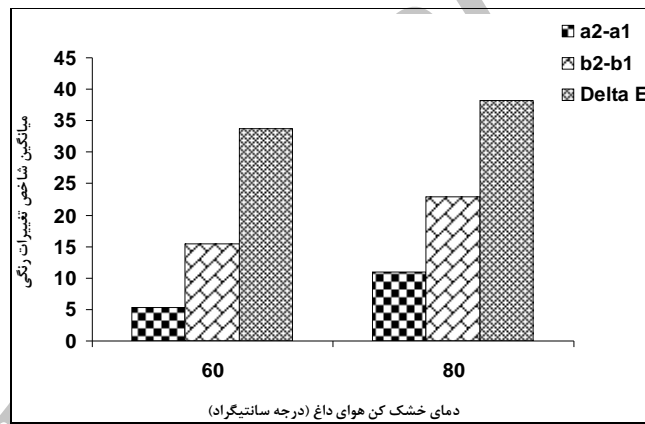
انجام تعییرات شیمیایی منجر به تعییر رنگ است به طوری که با افزایش زمان خشک کردن، و اکتشافاتی تعییر رنگ شدت یافته و باعث افزایش اختلاف در مقادیر مولفه های رنگ شده است.

تأثیر پیش تیمار اسمز- فراصوت بر میزان آب‌گیری مجدد توسط نمونه ها

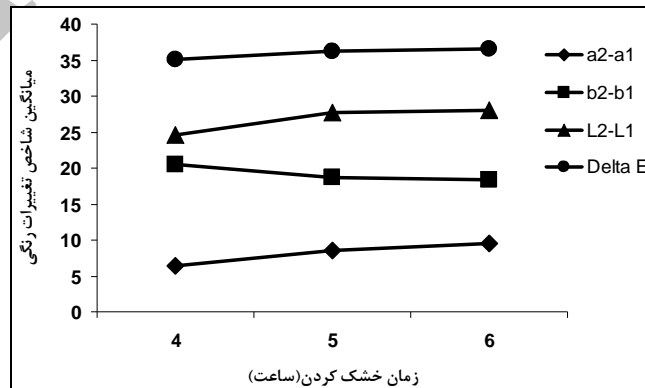
با توجه به نتایج تجزیه واریانس فاکتور آب‌گیری مجدد (جدول ۸)، مدت زمان اعمال امواج فراصوت در پیش تیمار اسمز- فراصوت و مدت زمان در پیش تیمار اسمز و همچنین نوع محلول اسمزی در هر دو پیش تیمار بر میزان آب‌گیری مجدد توسط نمونه ها تأثیر معنی داری نداشت. غلظت محلول اسمزی بر میزان آب‌گیری مجدد توسط نمونه ها مؤثر بود، به طوری که با افزایش غلظت محلول اسمزی توانایی آب‌گیری مجدد نمونه ها کاهش یافت.

همچنین غلظت محلول اسمزی غیر از تعییرات مولفه a^* بر سایر شاخص های تعییر رنگ موثر بود (جدول ۶) به طوری که با افزایش غلظت قند محلول شاخص های مولفه L^* ، b^* و شاخص تعییرات کلی رنگ افزایش پیدا کرد. دمای خشک کردن در مرحله هوای داغ بر اکثر شاخص های تعییر رنگ با اطمینان ۹۹٪ تأثیر معنی دار داشت. با توجه به شکل ۴، افزایش دمای خشک کن، افزایش میزان تعییرات رنگی را به همراه دارد.

نتایج تجزیه واریانس (جدول ۶) نشان می دهد که در بین متغیرهای فرایند، متغیر زمان خشک کردن هوای داغ بیشترین تأثیر را بر تعییر رنگ موز دارد، به طوری که با اطمینان ۹۹٪ درصد بر تمام شاخص های تعییر رنگ مولفه های L^* ، a^* و b^* و شاخص کل تعییرات روندی (مولفه L) و شاخص تعییرات رنگ قرمز (مولفه a^* افزایش پیدا می کند، با وجودی که شاخص تعییرات رنگ زرد (مولفه b^*) کاهش پیدا کرد ولی در مجموع شاخص کل تعییرات افزایش یافت (شکل ۵). این رفتار ناشی از اثر کذاری بالای زمان در



شکل ۴- تأثیر دمای خشک کن بر تعییرات شاخص های رنگ



شکل ۵- تأثیر زمان خشک کردن بر تغییرات شاخص های رنگ
جدول ۸- نتایج آنالیز واریانس (ANOVA) برای توانایی آب گیری مجدد توسط نمونه ها

| فراصوت | | | | منبع | | | |
|-----------------------|------------|------------|-----------------------|----------------|------------|------------|--|
| اسمز | | منبع | | میانگین مربعات | | منبع | |
| میانگین مربعات | درجه آزادی | منبع | درجه آزادی | میانگین مربعات | درجه آزادی | منبع | |
| ۰/۰۰۵۳۵ ^{ns} | ۲ | زمان | ۰/۰۰۱۶ ^{ns} | ۲ | زمان | زمان | |
| ۰/۰۲۳ ^{ns} | ۱ | نوع محلول | ۰/۰۰۳۳۹ ^{ns} | ۱ | نوع محلول | نوع محلول | |
| ۰/۰۴۴۱* | ۱ | غلظت محلول | ۰/۰۴۹* | ۱ | غلظت محلول | غلظت محلول | |
| ۲/۵۳۳** | ۱ | دما | ۰/۸۴۱۲** | ۱ | دما | دما | |
| ۰/۰۰۹۷۵ | ۲۸۲ | خطا | ۰/۰۰۸۲۳ | ۲۸۲ | خطا | خطا | |
| | ۲۸۷ | کل | | | ۲۸۷ | کل | |

در این پژوهش تأثیر غلظت و نوع محلول اسمزی بر برخی فاکتورهای کیفی موز طی خشک کردن مورد مطالعه قرار گرفت. نتایج نشان داد با افزایش غلظت محلول اسمزی میزان آب گیری و جذب مواد جامد افزایش می یابد. از طرف دیگر مقایسه بین محلول های گلوکز و ساکارز نشان می دهد که محلول گلوکز بعلت دارا بودن اندازه و وزن مولکولی کمتر نسبت به ساکارز باعث افزایش پیشتری در میزان آب گیری و جذب مواد جامد می شود. افزایش میزان جذب مواد جامد سبب کاهش چروکیدگی نمونه ها گردید. استفاده از امواج فراصوت بعلت ایجاد میکروکانال ها سبب سهولت انتقال جرم و تسربی فرایند خشک کردن شد. بنابراین کاربرد این فناوری نوین غیر حرارتی می تواند برخی از موانع موجود در رابطه با خشک کردن مواد غذایی حساس به حرارت را مرتفع سازد. همچنین نتایج این تحقیق نشان داد که دو عامل تأثیر گذار اصلی در تغییر رنگ موز، دمای خشک کن و به ویژه زمان خشک کردن در مرحله های داغ است. کنترل این دو عامل در حین فرآیند، عوامل اصلی در تولید فرآورده با کیفیت مناسب است. همچنین استفاده از پردازش تصویر رقمه ای همراه تصویر گیری برخط در خشک کردن موز می تواند به عنوان ابزار دقیق و غیر مخرب برای کنترل تغییرات رنگ بکار رود.

این امر احتمالاً به دلیل جذب مواد جامد در فرآیند اسمز می باشد که همین امر بر روی نفوذپذیری سلول ها تأثیر می گذارد و در نتیجه Muz et al. (2006)، نتایج به دست آمده توسط Bakalis و Lewicki (2005)، Rastogi و همکاران (2004)، Karathanos (1999)، نشان می دهد که فرایند آب گیری اسمزی تأثیر منفی بر آب گیری مجدد دارد و دلیل آن را اشباع شدن سریع لایه زیرین سطح بافت ماده غذایی با ماده قندی و آب گیری کمتر لایه قندی در مقایسه با بافت طبیعی ماده غذایی می دانند. همچنین متغیر زمان خشک کردن هوای داغ بیشترین تأثیر را بر میزان آب گیری مجدد موز داشت. به طوری که با اطمینان ۹۹ درصد بر میزان آب گیری مجدد موثر بوده و با افزایش دما خشک کن، میزان آب گیری مجدد توسط نمونه ها افزایش یافت. این امر به دلیل این پدیده می باشد که استفاده از دمای بالا در خشک کردن سبب افزایش سرعت خارج شدن رطوبت از نمونه ها و در نتیجه کاهش میزان چروکیدگی در نمونه ها می شود. این رفتار سبب افزایش میزان آب گیری مجدد توسط نمونه ها می شود (Jokic et al., 2009).

نتیجه گیری

منابع

- رضوی، س، م، ع. و اکبری، ر، ۱۳۸۵، خواص بیوفیزیکی محصولات کشاورزی و مواد غذایی، انتشارات دانشگاه فردوسی مشهد، صفحات ۴۷-۴۴.
- صوتی خیابانی، م، سحری، م، ع. و امام جمعه، ز، ۱۳۸۲، بررسی تأثیر شرایط فرایند اسمز بر میزان آب گیری در برگه هلو، مجله علوم کشاورزی ایران، ۳۴، ۲۸۱-۲۳۷.
- محمدی، ع، رفیعی، ش، کیهانی، ع، امام جمعه، ز، ۱۳۸۷، ضریب پخش موثر و انرژی فعال سازی کیوی در خشک کردن با هوای داغ، مجموعه مقالات پنجمین کنگره ملی مهندسی ماشین های کشاورزی و مکانیزاسیون، انتشارات دانشگاه فردوسی مشهد.
- مسکوکی، ع، م، و مرتضوی، س، ع، ۱۳۸۶، بررسی تأثیر تأم امواج فراصوت و قلیا در کاهش زمان خشک کردن انگور و تولید کشمش، مجله علوم تغذیه و صنایع غذایی ایران، ۲، ۱۰-۱.

- Bakalis, S., & Karathanos, V.T., 2005, Study of rehydration of osmotically pretreated dried fruit samples. *Drying Technology*.23, 533-49.
- Briones, V., & Aguilera, J., 2005, Image analysis of changes in surface color of chocolate. *Food research international*. 38(1), 87-94.
- Coupland,J. & Saggin NR., 2003, Ultrasonic sensors for the food industry. *Advances in Food and Nutrition Research*, 45, 102-166.
- Crank, J., 1975, The mathematics of diffusion. 2nd ed. Oxford University Press, Oxford, 104-106.
- Fabiano A. N., Fernandes, Gall., M. I. & Rodrigues,S., 2009, Effect of osmosis and ultrasound on pineapple cell tissue structure during dehydration. *Journal of Food Engineering*. 90, 186-190.
- Fathi, M., Mohebbi, M., & Razavi, S. M. A., 2011, Application of image analysis and artificial neural network to predict mass transfer kinetics and color changes of osmotically dehydrated kiwifruit. *Food and Bioprocess Technology*. 4, 1357-1366.
- Fernandes, F.A.N., Gallo, M.I. & Rodrigues, S., 2008, Effect of osmotic dehydration and ultrasound pre-treatment on cell structure: Melon dehydration. *LWT-Food Science and Technology*. 41, 604-610.
- Fernandes, F.A.N., Rodrigues, S., Gaspareto, O.C.& Oliveira, P., 2006, Optimization of osmotic dehydration of bananas followed by air drying. *Journal of Food Engineering*. 77, 188-193.
- Hammami, C., Rene, F. & Marin, M., 1999, Process quality optimization of the vacuum freeze-drying of apple slices by the response surface method. *International Journal of Food Science and Technology*. 34:145-160.
- Isadora. M., Oliveira,Fabiano A. N., Fernandes, soeli, R., Sousa, H. M., Geraldo, A. & imundo. W. F., 2006, Modeling and optimization of osmotic dehydration of banana Followed by air drying. *Journal of Food Process Engineering*. 29, 400-413.
- Jokic, S., Mujic, I., Martinov, M., Velic, D., Bilic, M. & Lukinac, J., 2009, Influence of drying procedure on colour and rehydration characteristic of wild Asparagus. *Czech Journal of Food Sciences*. 27, 171-177.
- Krokida, M.K., Karathanos, V.T. & Maroulis, Z.B., 2000, Effect of osmotic dehydration on color and sorption characteristics of apple and banana. *Drying Technology*. 18, 937-950.
- Kuldiloke, J., 2002, Effects of ultrasound temperature and pressure treatment on enzyme activity and quality indicators of fruit and vegetable juices. M. Sc Thesis. Technischen University Berlin.
- Lewicki, P.P., 1998, Some remarks on rehydration of dried foods. *Journal of Food Engineering*. 36, 81-87.
- Lopez, A., Iguaz, A., Esnoz, A. & Virseda, P., 2000, Thin-layer drying behaviour of vegetable waste from wholesale market. *Drying Technology*.18, 995-1006.
- Lozano, J. E., Rostein, E. & Urbician M.J., 1983, Shrinkage, porosity and bulk density of food stuffsand at changing moisture contents. *Journal ofFood Science and Technology*. 48, 1497-1553.
- Panagiotou, N. M., Karathanos, V. T. & Maroulis, Z. B., 1999, Effect of osmotic agent on osmoticdehydration of fruits. *Drying Technology*. 17(1 and 2), 175-189.
- Patrícia, M. A., Maria, A. M. B., Mariana, R. A. & Sofia, S. B. O., 2010, Effect of ultrasound on banana cv *Pacovan* drying kinetics. *Journal of Food Engineering*. 97, 194-198.
- Rafiee, S., Keyhani, A. & jafari, A., 2008, Modeling effective moisture diffusivity of wheat(*Tajan*) during air drying. *International Journal of Food Properties.v* (11), 1-10.
- Rastogi, NK., Nayak, C.A., & Raghavarao, K., 2004, Influence of osmotic pre-treatments on rehydration characteristics of carrots. *Journal of Food Engineering*.65(2), 287-92.
- Singh, B., Panesar, S., Gupta, A.K. & Kennedy, F., 2006, Optimization of osmotic dehydration of carrot cubes in sucrose-salt solutions using response methodology. *European Food Research and Technology*. 225, 157-165.
- Tkalcic, M., & Tasic, J., 2006, Colour spaces: perceptual, historical and applicational background. The IEEE Region 8 Eurocon . Computer as a Tool, 1.
- Torregjani, D.,& Bertolo, G., 2001, Osmotic pre-treatment in fruit processing: Chemical, physical and structural effect. *Journal of Food Engineering*. 49, 247-253.
- Vahideh, R. R., N, Narendra, J. & Gabriel, F., 2008, Effect of osmotic predehydration on drying characteristics of banana Fruits. *Journal of Food Technology*. 28(2),269-273.